

# Глава 5

## Переменные для “инклюзивных” измерений

### 5.1 Переменная Фейнмана $x_F$ .

Пусть при рассеянии частиц  $a, b$  после их взаимодействия регистрируется частица  $c$ , а остальные продукты реакции не регистрируются (система  $X$ ), то есть проводятся инклюзивные измерения реакции

$$a + b \rightarrow c + X . \quad (5.1)$$

Чтобы не загромождать формулы, под 4-импульсом (или компонентами его, то есть энергией и 3-импульсом) регистрируемой частицы будем понимать  $(E_c, \mathbf{p}_c)$ , опуская индекс  $c$ . В случае обращения к системе центра масс реакции, как всегда, соответствующие неинвариантные величины будем помечать символом \*.

Кинематическую область возможных значений импульса регистрируемой частицы можно легко определить, пользуясь формулами

для "круга импульсов" (если речь идет о системе центра масс) или "эллипса импульсов" (если речь идет о любой другой системе отсчета, например, лабораторной), рассмотренными ранее. В частности, продольный импульс регистрируемой частицы может лежать в пределах

$$\begin{aligned} p_{\parallel min}^* &= -[E_{max}^{*2} - m^2 - p_{\perp}^{*2}]^{1/2} \leq p_{\parallel}^* \leq p_{\parallel max}^* = \\ &= [E_{max}^{*2} - m^2 - p_{\perp}^{*2}]^{1/2}, \end{aligned} \quad (5.2)$$

где

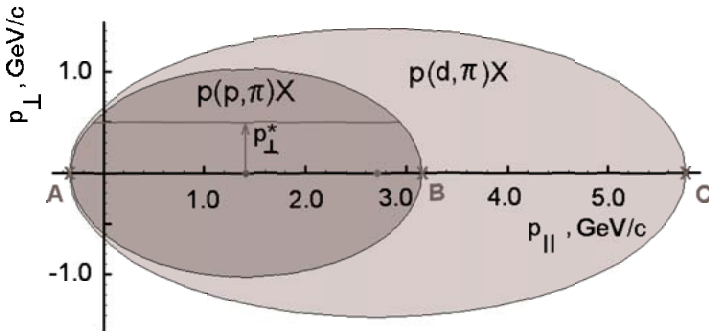
$$\begin{aligned} 0 \leq p_{\perp}^* \leq p^*, \quad & (m^2 + p_{\perp}^{*2})^{1/2} \leq E^* \leq E_{max}^* = \\ &= \frac{s + m^2 - m_{X, min}^2}{2\sqrt{s}}; \end{aligned} \quad (5.3)$$

здесь  $m_{X, min}$  — минимальное допустимое значение эффективной массы системы  $X$ , равное сумме масс входящих в нее частиц (имеется в виду, допустимое законами сохранения квантовых чисел для рассматриваемой реакции). Если графически представить круг импульсов, то  $p_{\parallel}^*$  принадлежит хорде круга, проведенной перпендикулярно его вертикальному диаметру на расстоянии  $p_{\perp}^*$  от горизонтального диаметра, а границы изменения  $p_{\parallel}^*$  определяются крайними точками этой хорды. В лабораторной системе, где круг импульсов превращается в эллипс импульсов, величина  $p_{\parallel}$  принадлежит хорде эллипса, проведенной перпендикулярно его малой полуоси на расстоянии  $p_{\perp}^*$  от большой оси, а границы изменения  $p_{\parallel}$  определяются крайними точками этой хорды (см. рис. 5.1, эллипс импульсов для реакции  $p(p, \pi)X$ ). Т. о. экстремальные (максимальное и минимальное) возможные значения  $p_{\parallel}$  для реакции (5.1) определяются крайними точками большой оси этого эллипса (см. пример на рис. 5.1, точки  $A$ ,  $B$  и  $C$  для соответствующих процессов).

Вспомнив о партонной картине взаимодействия адронов, можно заподозрить, что инвариантная безразмерная переменная

$$x_F = \frac{p_{\parallel}^*}{p_{\parallel max}^*}, \quad (5.4)$$

может быть хорошей переменной для анализа данных инклузивных измерений реакций типа (5.1). Опыт показал, что так оно и есть. Переменная (5.4) называется *фейнманской скейлинговой переменной*.



$$T_{\text{kin}} = 3.5 \text{ GeV/nucleon}$$

Рис. 5.1. Эллипс импульсов пиона в лабораторной системе для реакций  $p(p, \pi)X$  и  $p(d, \pi)X$ , обсужденный в Части II. Область внутри меньшего эллипса разрешена для пиона, рожденного в реакции  $p(p, \pi)X$  (оба нуклона - свободные). Граница большого эллипса соответствует реакции  $p(d, \pi)X$ , когда дейtron рассматривается как "материальная точка", а эффективная масса системы  $X$  минимально возможная (после учета всех законов сохранения и правил отбора по квантовым числам). Область импульсов вне большого эллипса – абсолютно запрещена для пиона вследствие законов сохранения энергии и импульса. Между внешним и внутренним эллипсами – "кумулятивная" область, недоступная для реакции  $p(p, \pi)X$  вследствие тех же законов сохранения энергии и импульса.

Ясно, что при анализе дифференциальных распределений, проинтегрированных по поперечному импульсу, под  $p_{\parallel max}^*$  следует понимать экстремальное значение продольного импульса (например, соответствующее точке  $B$  на рис. 5.1). Кроме того, в партонной картине Фейнмана считается, что поперечный импульс partонов невелик, то есть их импульсное распределение в адроне "прижато" к оси абсцисс рис. 5.1, что дает некоторое дополнительное оправдание такому рецепту определения  $p_{\parallel max}^*$ .

В литературе часто употребляют и другое определение  $x_F$ , а именно:

$$x_F = 2 \frac{p_{\parallel}^*}{\sqrt{s}}, \quad (5.5)$$

практически совпадающее с (5.4), когда  $s$  намного больше значений всех масс, входящих в определение (5.2), равно как и значений поперечного импульса  $p_{\perp}^*$ . Определение (5.4) представляется более точным при конечных энергиях или при работе вблизи кинематических

границ рассматриваемого процесса (но все же при невысоких  $p_{\perp}^*$ , если для максимального значения продольного импульса принимается его экстремальная величина).

## 5.2 Быстрота и псевдобыстрота.

Можно убедиться, что определенная в Части I безразмерная переменная, называемая **быстротой**, может быть выражена через энергии и импульсы регистрируемой частицы так:

$$\eta_c = \frac{1}{2} \ln \left( \frac{E_c + p_c}{E_c - p_c} \right) , \quad (5.6)$$

а **продольная быстрота** как

$$\eta_{c, long} = \frac{1}{2} \ln \left( \frac{E_c + p_{c\parallel}}{E_c - p_{c\parallel}} \right) . \quad (5.7)$$

Переменные, соответствующие динамике на световом фронте, в импульсном пространстве можно выразить через импульсы и энергии в с.ц.м.:

$$p_+^* = E^* + p_{\parallel}^* , \quad p_-^* = E^* - p_{\parallel}^* , \quad (5.8)$$

откуда видно, что

$$\eta_{long} = \frac{1}{2} \ln \left( \frac{p_+^*}{p_-^*} \right) . \quad (5.9)$$

Таким образом, существенными кинематическими переменными для анализа реакций типа (5.1), являются пары  $(\mathbf{p}_{\perp}, x_F)$  или  $(\mathbf{p}_{\perp}, \eta_{long})$ . Однако значения пределов изменения одной из переменных в указанных парах зависят от значений другой переменной. Это интуитивно ясно из рассмотрения рис. 5.1; подробнее это обсуждено в книге [4]. Там же детально рассмотрена еще одна, часто употребляемая при высоких энергиях переменная, а именно - **псевдобыстрота**. Ее практическая ценность в том, что измерять псевдобыстроту проще, чем быстроту: не нужно измерять величины импульсов, равно как и нет особой необходимости идентифицировать частицы, чтобы правильно вычислять их энергии. Дело в том, что для измерения псевдобыстроты достаточно измерить угол  $\theta$  вылета частицы. При

этом псевдобыстрота **почти везде** достаточно близка к продольной быстроте.

Вначале заметим, что

$$\begin{aligned}\eta_{long} &= \ln\left(\frac{E + p_{\parallel}}{m_{\perp}}\right) \approx -\ln\left(\frac{1}{2} \tan \theta\right), \\ m_{\perp}^2 &= p_{\perp}^2 + m_c^2 = p_+^* p_-^*,\end{aligned}\quad (5.10)$$

(величина  $m_{\perp}$  называется "поперечной массой"), если выполнены условия:

1. угол вылета много меньше 1 но не слишком мал:

$$\frac{m}{p} \lesssim \theta \ll 1; \quad (5.11)$$

2. поперечный импульс много меньше продольного:

$$p_{\perp} \ll |p_{\parallel}|; \quad (5.12)$$

3. импульсы велики по сравнению с массами:

$$p \geq m_{\perp}. \quad (5.13)$$

Если несколько ослабить первое условие, то есть допустить, что

$$\frac{m}{p} \lesssim \theta \lesssim 1, \quad (5.14)$$

то можно увидеть, что

$$\eta_{long} \approx \frac{1}{2} \ln\left(\frac{1 + \cos \theta}{1 - \cos \theta}\right) \approx -\ln\left[\tan\left(\frac{\theta}{2}\right)\right]. \quad (5.15)$$

Последнее приближенное равенство в этой формуле используется как определение псевдобыстроты, позволяющее ограничиться изменениями углов вылета частиц в лабораторной системе:

$$\eta_{pseudo} = -\ln\left[\tan\left(\frac{\theta}{2}\right)\right]. \quad (5.16)$$

Следует заметить, что в разных работах по изучению процессов множественного рождения частиц в инклюзивной постановке экспериментов при высоких энергиях нередко используются слегка разные определения псевдобыстроты (см. например [4]). Поэтому небесполезно внимательно следить за тем, какое именно определение псевдобыстроты используется в той или иной работе, хотя все такие определения отталкиваются от углов вылета регистрируемой частицы.

Безусловно, необходимо помнить о различии между псевдобыстротой и настоящей быстротой.

Наконец, нельзя не сказать и о том, что (уступая давлению жаргона) продольную быстроту иногда также называют просто быстрой (см. примеры в [4]).

Рисунок 5.1 помогает понять, почему переменная псевдобыстро-тоть в свое время стала популярной. Действительно, партонная картина неупругого взаимодействия подразумевает, что при высоких энергиях средние поперечные импульсы вторичных частиц почти не рас-тут с ростом начальной энергии (или растут достаточно медленно). Иными словами, область внутри разрешенного кинематикой эллипса "заселяется" частицами неравномерно: они концентрируются вбли-зи оси абсцисс в довольно узкой полосе. С ростом энергии эллипс расширяется, но частицы остаются почти в той же полосе: распреде-ление по поперечному импульсу при фиксированной быстроте почти не меняется, и когда поперечный импульс частицы много меньше ее полного импульса, распределение по продольному импульсу стано-вится (приближенно) распределением по углу вылета частицы. Это означает, что характер распределения событий внутри эллипса не за-висит (или слабо зависит) от его абсолютных размеров: важно лишь относительное расстояние точки, изображающей событие, от центра эллипса (круга в с.ц.м.).

### 5.3 Связь быстроты и переменной $x_F$ .

В определениях (5.4) фейнмановской переменной и продольной быст-роты (5.7) фигурирует один и тот же продольный импульс реги-стрируемой частицы  $c$ . Отсюда следует, что эти переменные связаны между собой. Эту связь нетрудно установить:

$$x_F = \frac{\operatorname{sh}(\eta_{c, long}^*)}{\operatorname{sh}(\eta_{c, long}^{* max})}. \quad (5.17)$$

Можно убедиться, что вблизи  $|x_F| \sim 0$  продольная быстрота тоже мала:  $|\eta_{c, long}^*| \sim 0$ , но в этой, т. н. "центральной" области, данный конечный фиксированный интервал  $\Delta x_F$  с ростом энергии столкно-вения ( $\sqrt{s}$ ) отображается на растущий с  $\sqrt{s}$  интервал быстроты (см. например, [4]). Иными словами, быстрота "растягивает" централь-ную область по сравнению с  $|x_F|$ .

Вблизи кинематических границ можно переписать связь  $x_F$  с быстротой в другой форме. В самом деле, рассмотрим выражения для них в системе центра масс вблизи границы  $x_F \approx 1$  и  $\eta_{long}^* \approx \eta_{long}^{* max}$ :

$$\begin{aligned} \eta_{long}^* - \eta_{long}^{* max} &= \frac{1}{2} \ln \left[ \frac{E_c^{* max} - p_{c\parallel}^{* max}}{E_c^{* max} + p_{c\parallel}^{* max}} \cdot \frac{E_c^* + p_{c\parallel}^*}{E_c^* - p_{c\parallel}^*} \right] = \\ &= \frac{1}{2} \ln \left[ \frac{E_c^{* max} - p_{c\parallel}^{* max}}{E_c^* - p_{c\parallel}^*} \cdot \frac{E_c^* + p_{c\parallel}^*}{E_c^{* max} + p_{c\parallel}^{* max}} \right]. \end{aligned} \quad (5.18)$$

Поскольку сами эти переменные обычно применяются в области высоких энергий и, как правило, при анализе неупругих процессов с довольно высокой множественностью, можно считать  $E_c^* \gg m_c$ . Это вполне оправдано вблизи кинематических пределов. Приняв это приближение, из (5.18) имеем

$$\begin{aligned} \eta_{long}^* - \eta_{long}^{* max} &\approx \frac{1}{2} \ln \left[ \frac{E_c^{* max} - p_{c\parallel}^{* max}}{E_c^* - p_{c\parallel}^*} \cdot \frac{2p_{c\parallel}^*}{2p_{c\parallel}^{* max}} \right], \\ E_c^{* max} - p_{c\parallel}^{* max} &\approx p_{c\parallel}^{* max} \left( 1 + \frac{m_c^2}{2(p_{c\parallel}^{* max})^2} \right) - p_{c\parallel}^{* max} = \\ &= \frac{m_c^2}{2(p_{c\parallel}^{* max})^2}, \\ E_c^* - p_{c\parallel}^* &\approx p_{c\parallel}^* \left( 1 + \frac{m_c^2}{2(p_{c\parallel}^*)^2} \right) - p_{c\parallel}^* = \frac{m_c^2}{2(p_{c\parallel}^*)^2}, \end{aligned} \quad (5.19)$$

поскольку вблизи границы  $|x_F| \approx 1$  перпендикулярный импульс  $p_{c\perp}^*$  много меньше продольного  $p_{c\parallel}^*$ .

В результате, приходим к формуле

$$\eta_{long}^* - \eta_{long}^{* max} \approx \ln \left( \left| \frac{p_{c\parallel}^*}{p_{c\parallel}^{* max}} \right| \right) = \ln (|x_F|), \quad (5.20)$$

которую удобнее выписать в окончательной форме [4]

$$\begin{aligned} x_F &\approx \exp(\eta_{long}^* - \eta_{long}^{* max}), \quad x_F > 0, \\ x_F &\approx -\exp(|\eta_{long}^*| - \eta_{long}^{* max}), \quad x_F < 0. \end{aligned} \quad (5.21)$$